

油压遠隔制御를 위한 덤프와 減压밸브의 特性에 관한 研究

吳 哲煥*, 金 銑**, 宋 昌燮***

A Study on Characteristics of Dump and Reducing Valve for Hydraulic Remote control System

Cheoul-Hwan Oh, Kwang Kim, Chang-Seoup Song

ABSTRACT

In recent, the requirement of remote control of hydraulics system is increasing. The actuator unit whose output position is proportional to input electrical signal needs a pressure reducer and a dump valve. The pressure reducer provides a constant regulated pressure and filters contaminants. The dump valve supplies proper pressure to the pressure reducer and unloads when the system is not operated. In this thesis, dump valve and pressure reducer with auxiliary function are studied.

The choke in the pressure reducer prevents actuator from supplying higher pressure than necessary pressure at beginning, and the spring constant affects on the dynamic characteristics.

In dump valve, it is proved that diameter of servo-slide hold and choke diameter of dump plunger affects on damping response.

= 記 號 說 明 =

A : Cross sectional area (cm^2)

C_d : Discharge coefficient

B : Damp coefficient ($\text{Kg}\cdot\text{sec}/\text{cm}$)

C_v : Velocity coefficient

* 서울教育大學 實科

** 패시픽 컨트롤(株) 研究室

*** 漢陽大學校 精密機械工學科

D : Diameter (cm)
F : Magnetic force (Kgf)
 K_c : Flow pressure coefficient ($\text{cm}^5/\text{Kgf}\cdot\text{sec}$)
 K^q : Flow gain ($\text{cm}^3/\text{sec}\cdot\text{cm}$)
K : Spring constant (Kgf/cm)
L : Damping length (cm)
M : Plunger equivalent mass ($\text{Kg}\cdot\text{sec}^2/\text{cm}$)
P : Pressure (Kgf/cm^2)
Q : Flow rate (cm^3/sec)
V : Volume (cm^3)
X : Plunger displacement (cm)
 β_e : Effective bulk modulus (Kg/cm^2)
 ρ : Oil density ($\text{Kg}\cdot\text{sec}^2/\text{cm}^4$)

= Subscript =

b : Bypass plunger
c : Choke
d : Dump plunger
i : Initial state
 ℓ : Load
m : Main control value
o : Operating point
r : Pressure reducer
s : Pump supply
sp : Spring chamber
st : Servo slide
t : Tank

1. 서 론

油圧應用分野의廣範圍한要求로自動制御 및遠隔制御의必要性이擡頭되고電氣量에比例하도록油圧서어보밸브가오래전부터研究되어왔다.^{1),2)}電磁式比例制御밸브는連續적으로遠隔制御할수있으며比例特性을갖고높은比例신뢰도의比例電磁石을개발하면서³⁾電氣input信號에比例하는位置를出力시킬수있는액튜에이터에의하여달성된다.이액튜에이터는供給pressure이一定히유지되어야하며기계가정지되었을때는無負荷狀態여야한다.供給pressure이低下되어액튜에이터作動이不良할때에는適當한背压을걸어주는技能을갖는dump(dump)밸브가필요하다.또한過pressure의供給을저지하는減压밸브가補助技能을한다.本論文에서는dump밸브와減压밸브를理論으로解析한基本方程式을유도하고非線形方程式을線形化하여밸브의安定性과應答度에영향을끼치는因子들을찾아디지탈시뮬레이션을利用하여因子들에따른dump밸브와減压밸브의安定性과應答度에미치는영향을검토하였다.

2. 이론 및 수학적 해석**2-1. 構造 및 作動原理**

油圧서어보액튜에이터를사용한系統圖는다음과같다.

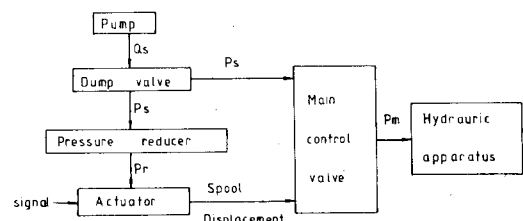


Fig. 1 Overall diagram of remote control system

먼저dump밸브를통과한作動油는減压밸브를거쳐一定한pressure P_r 를액튜에이터에供給한다.또電流에比例하는變位가메인컨트롤밸브에加해지며이것은油圧裝置로供給하는負荷pressure P_m 을決定한다.

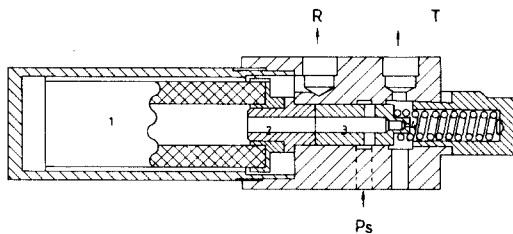


Fig. 2 Vertical cross-section of a pressure reducer

그림 2는 **減压밸브**의構造이다. **減压**을傳達하는 플런저와負荷가 없을 경우一定压力을유지하도록 초오크와필터로 구성되어 있다. 펌프의吐出压力이負荷에 따라변동되므로压力이높아지면 플런저가받는 힘도커져스프링을압축하게作動한다. 스프링压力이커지면서몸체의포오트와플런저원주상의유로에의해오리피스 면적은작아져pressure降下가되어出口側压力을낮추어 플런저는逆方向으로움직인다. 이때의出口側 pressure은스프링의初期压縮力에의하여決定된다.

dump밸브는수동전환 스푸울, 메인 컨트롤 밸브, 유로연결의 바이패스플런저, dump플런저, 서어보슬라이드로구성되어있고 서어보슬라이드는솔레노이드에加해진入力信號에의하여作動한다. 솔레노이드에 전류가흐르지않은狀態는压油가스프링실이서어보슬라이드를거쳐탱크로빠져나가고pressure이저하되므로플런저가스프링실쪽으로밀리다어느정도위치에서펌프측라인은dump플런저에뚫려있는유로를통하여탱크로연결되며펌프의吐出压이大氣压状态가된다.

솔레노이드에전류가흐를때서어보슬라이드가흡입되고탱크와스프링실유로가차단되고플런저는反對方向으로움직여펌프吐出压이上昇하게된다.吐出压에의해서바이패스플런저가받는压이스프링設定压보다커지면바이패스플런저에뚫려있는유로를통해서메인컨트롤밸브에전달되고手動作業中負荷가작으면펌프의吐出压도작아져플런저는닫히도록作動되므로**減压밸브**의供給压이플런저스프링設定压보다낮아지지않도록한다.⁴⁾

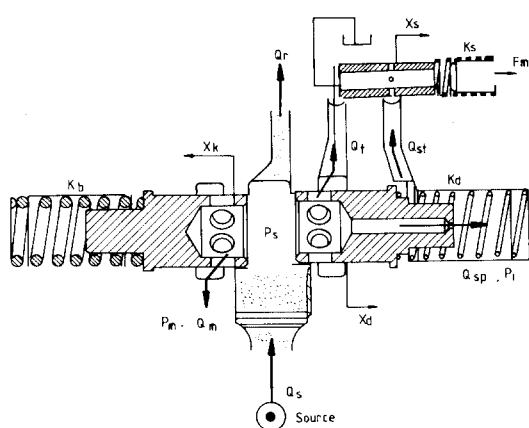


Fig. 3 Horizontal cross-section of a dump valve and reducer

그림 3은右의dump와左의감압밸브內部構造이다.

2-2. 해석적 모델

밸브의해석에있어서밸브성능에영향을미치는因子는많다. 이의展開를위하여系의단순화가필요하므로다음과같이가정을導入한다.

1. 밸브系에供給되는펌프의吐出流量 Q_s 는一定하고,漏洩量은無視하고,溫度,密度,粘性은一定하며탱크側의压은大氣压으로본다.

2. 초오크를除外한主要오리피스의流量係數는Von-mises理論에의해0.61로取한다.⁴⁾

- 3.流体固着現象과油压필터에서의压降下는없고,比例電磁石의吸引力은一定하다.

4. **減压**플런저의초오크에서의流動은乱流이고펌프플런저의초오크에서는層流이다.

2 - 2 - 1. 減压밸브

오리피스 開度는 그림 4 와 같고 開度 面積은 다음 式과 같으며 作動되는 減压 밸브는 그림 5 와 같다.

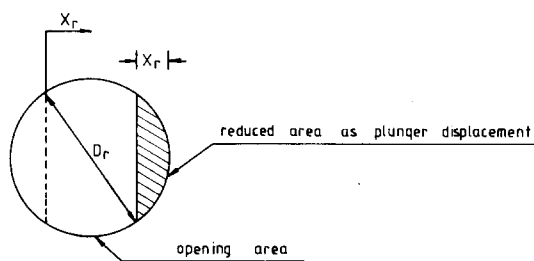


Fig. 4 Model area for a circular port

$$A_1 = \frac{D_r^2}{4} \left[\pi - \left\{ \cos^{-1} \left(\frac{1}{2} - \frac{2X_r}{D_r} \right) \right\} \left(1 - \frac{4X_r}{D_r} \right) \sqrt{\left(\frac{1}{4} + \frac{X_r}{D_r} \right)_2} \right] \quad (1)$$

一般的으로 오리피스를 통한 흐름은 亂流로서 減压 밸브에 형성된 2개의 오리피스를 通過한 流量은 다음과 같다.

$$Q_r = 2 C_d A_1 \sqrt{\frac{2}{\rho} (P_s - P_r)} \quad (2)$$

또한 플런저 초오크를 通过해서 탱크로 나가는 流量은 다음과 같다.

$$Q_{ct} = C_d A_c \sqrt{\frac{2}{\rho} P_r} \quad (3)$$

初期 供給压力에 의하여 밸브 블러과의 충돌 방지를 위해 연결 탱크측 流路로 나가는 流量은 다음과 같다.

$$Q_{t2} = 2 C_d A_{t2} \sqrt{\frac{2}{\rho} P_r} \quad (4)$$

여기서 A_{t2} 는 다음과 같다.

$$A_{t2} = \frac{D_r^2}{4} \left[\cos^{-1} \left(1 - \frac{2X'_r}{D_r} \right) - 2 \left(2 - \frac{2X'_r}{D_r} \right) \sqrt{\frac{X'_r}{D_r} - \left(\frac{X'_r}{D_r} \right)^2} \right] \quad (5)$$

식 (5)에서 $X'_r = X_r - X_{rp}$ 로 나타내고 X_{rp} 는 플런저의 오리피스와 연결 포오트와의 오우버랩 양이다.

$$X'_r = \begin{cases} X_r - X_{rp} & (X_r > X_{rp}) \\ 0 & (X_r < X_{rp}) \end{cases} \quad (6)$$

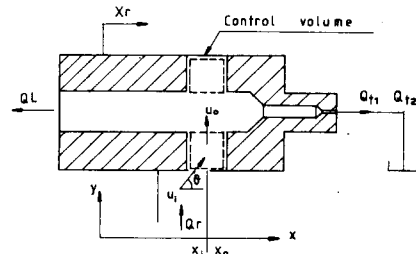


Fig. 5 Analytical model of a pressure reducer

2 - 2 - 2. 減压밸브의 軸推力^{5), 6)}

流体가 플런저로 부터 받은 軸方向 힘 F_x 는 運動量 理論에 의하여 다음과 같이 나타낸다.

$$F_x = \int_{c.v} \frac{\partial u}{\partial t} d\tilde{q} + \int_{c.s} U (\tilde{q} \cdot d\tilde{A})$$

여기에서 \tilde{q} 는 속도벡터 U 는 속도벡터의 X 成分이며 $d\tilde{A}$ 는 外向法線方向 面積要素 벡터이다.

플런저가 流体로 부터 받은 힘은 F_{fx} 로 F_x 와 같고 反對方向이다. 위 식을 發散定理를 利用하여 面積分으로 바꾸면 다음과 같다.

$$F_{fx} = Q_r (U_i - U_o) + (X_o - X_i) \frac{dQ_r}{dt} \quad (7)$$

위 식의 첫항은 陽으로 밸브를 닫는 方向으로 作動하고 이 힘은 플런저의 開度에 比例하는 流体스프링 힘이라 부른다. 이 힘은 매우 작아 解析에서 除外한다.⁴⁾ 또 둘째 항은 그림 5에서 $X_o = X_i$ 이므로 軸推力에 영향이 없다.

2 - 3 - 1. 덤프 밸브

그림 3 에서 덤프밸브를 보였다. 초오크를 通过해서 스프링실로 들어가는 流量은 레이놀드 수

가 비교적 작으므로 層流로 보면 다음과 같다.

$$Q_{sp} = \frac{\pi D_c}{128 \cdot \mu L_c} (P_s - P_1) \quad (8)$$

스프링실에서 서어보 슬라이드를 통해 탱크로 들어가는 流量은 다음과 같다.

$$Q_{st} = \begin{cases} 4 C_d A_s \sqrt{\frac{2}{\rho} P_1} & (0 < X_s < X_{sp}) \\ 4 C_d \frac{D_s^2}{4} \left[\pi - \cos^{-1} \left\{ 1 - \frac{2(X_s - X_{sp})}{D_s} \right\} + 2 \left\{ 1 - \frac{2(X_s - X_{sp})}{D_s} \right\} \cdot \sqrt{\frac{X_s - X_{sp}}{D_s}} - \left(\frac{X_s - X_{sp}}{D_s} \right)^2 \right] \cdot \sqrt{\frac{2}{\rho} P_1} & (X_{sp} < X_s < 0.35) \\ 0 & (0.35 < X_s < 0.4) \end{cases} \quad (9)$$

서어보 슬라이드에는 4 개의 구멍이 형성되어 있고 X_{sp} 는 오우버랩 량이다. 액튜에이터 作動에 의하여 負荷压力 P_m 이 決定되며 이 壓力에 의해서 덤프밸브의 壓力도 上昇하게 된다. 바이패스 플런저를 통해서 메인 컨트롤 밸브로 들어가는 流量 Q_m 은 다음과 같다.

$$Q_m = 6 C_d A_{ob} \sqrt{\frac{2}{\rho} (P_s - P_m)} \quad (10)$$

솔레노이드의 전류를 끊은 후 서어보 슬라이드를 통해 연결된 탱크 포트로 因해 밀려진 덤프플런저 오리피스를 통해 탱크로 흐르는 流量 Q_t 는 다음과 같다.

$$Q_t = 6 C_d A_{od} \sqrt{\frac{2}{\rho} (P_s - P_m)} \quad (11)$$

2-3-2. 덤프밸브의 軸推力

덤프밸브와 減压밸브는 同一한 形態의 軸推力이 서로 反對 方向으로 發生 作動하므로 相殺되어 없다고 보고 解析한다.

2-4. 靜持性 解析⁷⁾

定常 狀態의 特性은 밸브의 容量을 決定하는 데 重要하며 밸브의 設計에 有用하다.

2-4-1. 減压밸브

定常 狀態는 $\frac{dX_r}{dt} = 0$, $Q_L = 0$, $Q_r = Q_{ct} = \text{constant}$ 로 基準點은 스프링의 初期 壓縮力에 依해서 얻어진다.

그 平衡方程式은 다음과 같다.

$$K_r(X_{ri} + X_{ro}) = A_p P_{ro} \quad (12)$$

$$Q_{ro} = 2 C_d A_1 (X_{ro}) \sqrt{\frac{2}{\rho} (P_{so} - P_{ro})}$$

$$Q_{cto} = C_d \frac{\pi D_c^2}{4} \sqrt{\frac{2}{\rho} P_{ro}}$$

2-4-2. 덤프밸브

定常 狀態의 背压을 決定하기 위하여 供給 流量은 負荷側으로 가는 流量과 같으므로 $Q_s = Q_m = \text{constant}$ 이고 平衡狀態의 方程式은 다음과 같다.

$$P_{so} A_b = K_b (X_{bt} + X_{bo}) \quad (13)$$

$$Q_s = 6 C_d A_b (X_{bo}) \sqrt{\frac{2}{\rho} (P_{so})}$$

2-5. 動持性의 解析

밸브의 過渡狀態를 解析하므로 밸브系의 安

定性과 應答性을 알 수 있다. 本節에서는 벨브系의 運動方程式과 連續方程式을 展開하고 作動點近方에서 線形化하여 動特性에 영향을 미치는 因子를 찾아내는 것이다.

2 - 5 - 1. 減压ベル브

플런저의 運動方程式은 다음과 같다.

$$M_r \frac{d^2 X_r}{dt^2} + B_r \frac{dX_r}{dt} + K_r X_r = -F_{or} + A_r P_r \dots (14)$$

ベル브內의 壓力이 制御되는 부분을 管制域으로 設定하여 連續方程式을 整理하면 다음과 같다.

$$\frac{V_r}{\beta_e} \cdot \frac{dP_r}{dt} + A_r \frac{dX_r}{dt} = Q_r - Q_L - Q_{ct} \dots (15)$$

첫 항은 有効體積과 壓力變化率에 따른 增加流量이고, 둘째 항은 플런저의 速度에 따른 增加流量이다.

2 - 5 - 2. 텁프밸브

바이패스 플런저의 運動方程式은 다음과 같다.

$$M_b \frac{d^2 X_b}{dt^2} + B_b \frac{dX_b}{dt} + K_b X_b = -F_{ob} + A_b P_s \dots (16)$$

Dump 플런저의 運動方程式은 다음과 같다.

$$M_a \frac{d^2 X_a}{dt^2} + B_a \frac{dX_a}{dt} + K_a X_a = -F_{oa} + A_a (P_s - P_1) \dots (17)$$

서어보 슬라이드의 運動方程式은 다음과 같다.

$$M_s \frac{d^2 X_s}{dt^2} + B_s \frac{dX_s}{dt} + K_s X_s = -F_{os} + F_m \dots (18)$$

위 식에서 F_m 은 전자석의 吸引力이다.

펌프 라인에서의 連續方程式은 다음과 같다.

$$\frac{V_t}{\beta_e} \cdot \frac{dP_s}{dt} + A_a \frac{dX_a}{dt} + A_b \frac{dX_b}{dt}$$

$$= Q_s - Q_m - Q_t - Q_{sp} - Q_r \dots (19)$$

Dump 플런저의 스프링식에서의 連續方程式은 다음과 같다.

$$\frac{V_s}{\beta_e} \cdot \frac{dP_1}{dt} - A_d \frac{dX_d}{dt} = Q_{sp} - Q_{st} \dots (20)$$

本節에서 기술한 方程式들은 Q_s , P_m 에 一定할 때 P_s , P_1 , P_r , X_d , X_b , X_r , X_s 를 從屬變數로 하는 非線形系이므로 作動點近方에서 미소하게 变化한다고 생각하고 Taylor級數로 展開하여 高次項을 무시하면 다음과 같이 나타낼 수 있다.

$$q = \left. \frac{\partial Q}{\partial X} \right|_0 \cdot X + \left. \frac{\partial Q}{\partial P} \right|_0 \cdot P = K_q \cdot X + K_c \cdot P$$

動特性에 關한 式 (14), (15), (16), (17), (18), (19), (20)을 線形化시키고 LapLace 變換을 시키고 이에 따른 긴 式을 函數로 바꾸어 놓으면 다음과 같다.

$$A = \frac{1}{\frac{V_t}{\beta_e} S + K_{ct} + K_{cm} + K_{csp} + K_{cr}}$$

$$B = \frac{1}{M_b S^2 + B_b S + K_b}$$

$$C = \frac{1}{M_a S^2 + B_a S + K_a}$$

$$D = \frac{1}{\frac{V_s}{\beta_e} S + K_{csp} + K_{cst}}$$

$$E = \frac{1}{M_s S^2 + B_s S + K_s}$$

$$G = K_{pr} - A_{rs}$$

$$H = \frac{1}{\frac{V_r}{\beta_e} S + K_{cr} + K_{crc}}$$

$$I = A_b S + K_{qm}$$

$$J = A_d S + K_{qt}$$

이들을 利用하여 블럭선도를 그리면 그림 6 과 같다.

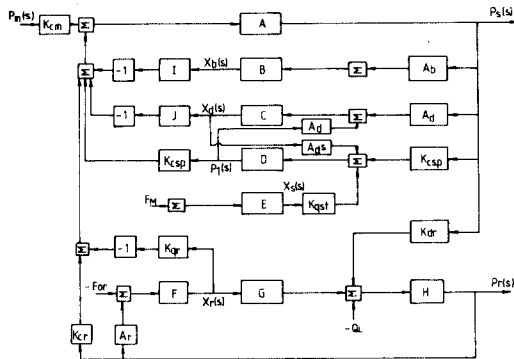


Fig. 6 Block diagram of the valve system

3. 컴퓨터 시뮬레이션

3-1 컴퓨터 시뮬레이션

動特性의 解析 決果 밸브系의 安定性과 應答

Table 1. Dimensions of a dump valve and pressure reducer used for computer simulation

M_r	5.0×10^{-3} kgf sec 2 /cm	B^s	3.54×10^{-3} kgf sec/cm
M_d	1.35×10^{-3} kgf sec 2 /cm	F_m	5kgf
M_b	1.6×10^{-4} kgf sec 2 /cm	Q_s	$1,800 \text{cm}^3/\text{sec}$
M_s	2.96×10^{-5} kgf sec 2 /cm	V^t	50cm^3
K_s	8kgf/cm	V_r	100cm^3
K_b	50kgf/cm	V_s	35cm^3
A_d	4.71cm^2	D_r	0.4cm
A_b	4.71cm^2	D_d	0.7cm
A_r	1.86cm^2	D_b	0.7cm
F_{ob}	66kgf	ρ	8.87×10^{-7} kgf sec 2 /cm 4
F_{os}	1kgf	β_e	$7,000\text{kgf/cm}^2$
X_{dp}	0.2cm	C_d	0.61
X_{bp}	0.2cm	μ	2.24×10^{-7} kgf sec/cm 2
B_r	7×10^{-2} kgf sec/cm	L_s	0.3cm
B_b	6.9×10^{-3} kgf sec/cm	L_c	(dump valve) 0.15cm
B_d	6.9×10^{-3} kgf sec/cm	X_{sp}	0.15cm

性에 영향을 미치는 因子는 다음과 같이 예상할 수 있다. 시뮬레이션은 減压밸브와 뎁프밸브로 구분했고 각 영향을 檢討했다. 사용한 方法은 HPCM⁸⁾을 使用했다. 또한 使用된 諸元은 표 1 과 같으며 실제밸브를 基準으로 定했으며 플랜저의 감쇄계수는 슬리브 사이의 간극에 존재하는 粘性剪斷에 의해서 구하였으며 減压밸브에서는 0.05mm로 뎁프밸브는 0.05mm로 가정했다.⁹⁾

3-2. 시뮬레이션 결과

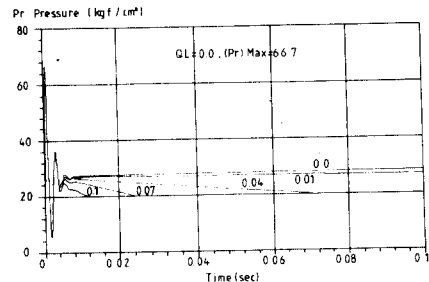


Fig. 7 Simulation results

그림 7 은 $Q_L = 0.0\text{cm}^3/\text{sec}$, $P_s = 200\text{Bar}$, $K_r = 91.3\text{kgf/cm}$, $F_{or} = 10.3\text{kgf}$ 일 때 D_c 를 변화시킨 경우 D_c 가 커짐에 靜定時間이 빨라 應答性이 좋음을 알 수 있으며 D_c 가 零 즉 초오크가 없는 경우 27kgf/cm^2 程度에서 固定되었다. 이 경우 빠져 나가는 流量이 없게 되어 액튜에이터가 作動時 높은 壓力이 供給되어 오우버슈우트 등의 영향을 미칠 수 있다.

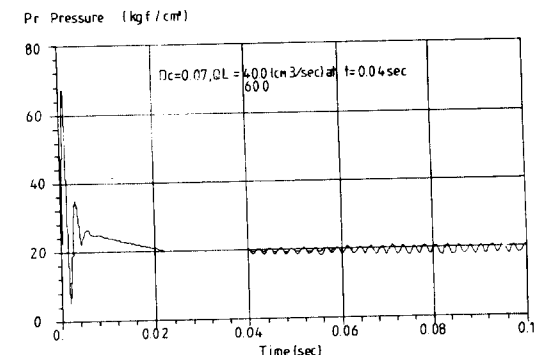


Fig. 8 Simulation results

그림 8 는 D_c 를 0.07cm로 고정시키고 Q_L 을 변화시켜 도출한結果이다. Q_L 이 $60\text{cm}^3/\text{sec}$ 까지는 양호하다.

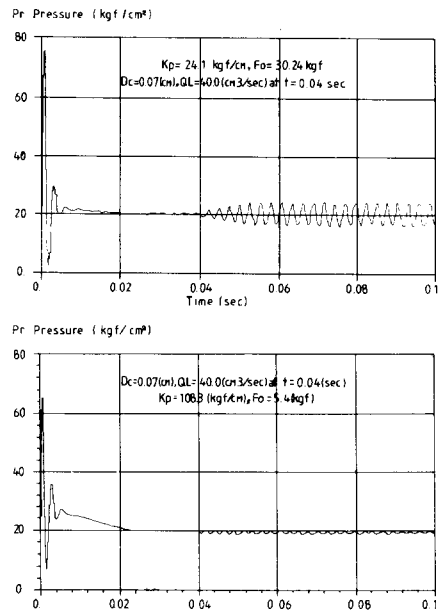


Fig. 9 Simulation results

그림 9 은 K_r 만을 증가 시킨 경우인데 초기 힘 F_{or} 은 줄었다. 이때, K_r 이 클수록過渡狀態의 最高值는 떨어지고 떨림은 줄어들고 定常狀態의 도달시간이 규칙적인 모습을 보인다.

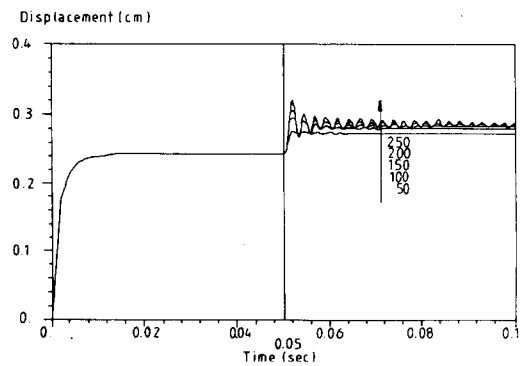


Fig. 10 Simulation results

그림 10은 Q_L 은 $20\text{cm}^3/\text{sec}$, K_r 은 91.3kgf/sec , F_{or} 은 11.3kgf , D_c 는 0.07cm 일 때 P_s 의 변화에

따라 X_r 은 증가하고 있음을 보여주며 스프링 設定压力 以上으로 增加하지는 않는다.

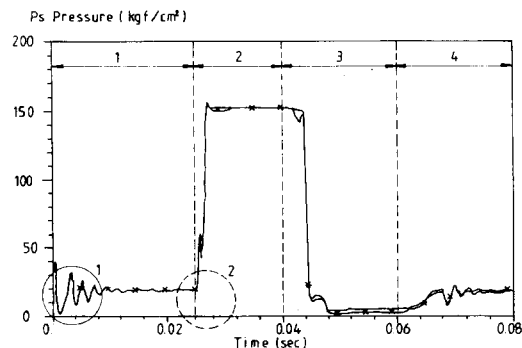


Fig. 11 Simulation results

그림 11는 負荷压力과 電磁石 吸引力에 따른压力 P_s 의 變化를 나타낸 것이다. 1區間은 負荷压力 이 零, 區間 2는 負荷压力 200kgf/cm^2 으로 階段狀 入力を 준 것이고, 區間 3은 F_M 을零, 區間 4는 다시 F_M 을 주었을 때이다. 實驗 1은 過渡狀態의 壓力脈動의 變化이고 點원 2는 負荷压力으로 생긴 流体 壓縮性으로 생긴 것이다.

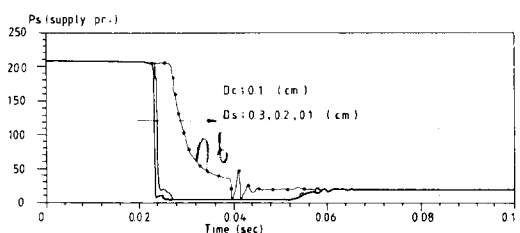


Fig. 12 Simulation results

그림 12은 초오크 지름을 0.1로 一定하게 設定하고 D_s 를 变화 시킬 경우를 보였다. 0.1cm 인 경우 텀프 壓力이 8kgf/cm^2 정도인데 이는 초오크를 통해서 스프링실로 들어온 流量이 서서히 흘러나가지 못하기 때문에 텀프기능을 제대로 수행하지 못한다. 그러나 D_s 를 0.3cm 으로 할 경우 너무 빨리 서서히 흘러나가게 된다.

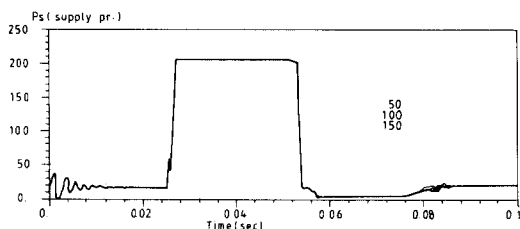


Fig. 13 Simulation results

그림 13은 초오크 지름 $D_c = 0.1\text{cm}$, 서오보 슬라이드 지름 $D_s = 0.2\text{cm}$, $K_d = 5\text{ kgf/cm}$, $P_m = 200\text{ Bar}$ 일 때 바이패스 스프링 상수를 변화시켜 본 경과이다. 3 경우 모두 동일하여 영향이 없다.

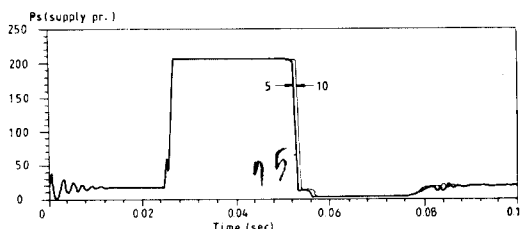


Fig. 14 Simulation results

그림 14는 위와 같은 경우 텀프밸브의 스프링 상수를 변화시켰을 때로서 스프링 상수가 큰 경우 텀프 시간이 느려지는 것을 보여주고 있다.

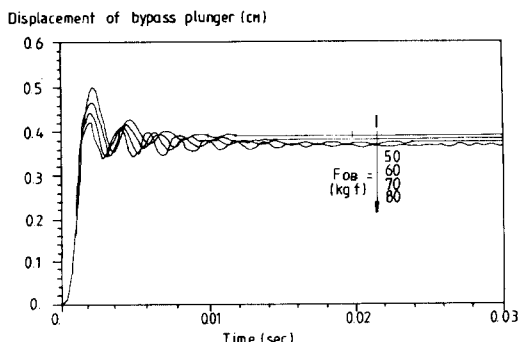


Fig. 15 Simulation results

그림 15은 초기壓力을 변화시켰을 때 플런저의 变位를 보여줌으로 壓縮力이 클수록 動特性에는 좋은 영향을 미치지 못함을 알 수 있다.

3 - 3. 實驗

1) 實驗 기구

명 청	모 텔	사 양
충 전 앱 프	PCB 464 A	1000PSI/Vol
파우어스프라이	200E (ED_{co})	20V DC
라빈 마스터	NM-7	16ch
P. Computer	IBM × T	16Bit
길 이 측 정 계	Peny & Giles	최대 50mm
유 압 펌 프		30ℓ/min
압력트랜듀서	PCB 111A	0.1~3000PSI
프 린 터	Epson	
오일로스코프	Kikusui Cos 5020	2ch, 20MHz
오 일	극동오일	$\rho = 8.87 \times 10^{-7}$ kgf sec/cm^2

2) 實驗方法

本論文에서는 減压밸브에서 一定한 壓力を 공급하여 서어보 액튜에이터의 作動을 원활하게 수행하기 위한 目的이기 때문에 一定하고 安定된 壓力を 액튜에이터에 공급해야 한다. 이를 测定하기 위해 出力 壓力を 確認하기 위해 壓力 트랜듀서를 부착하여 충전 앱프로 끌고 이 壓力を 라빈마스터로 入力하여 컴퓨터로 출력했다. 이때 변화한 頻率변수는 電流로 하였으며 액튜에이터의 變化에 대해서는 길이 측정 포텐시오메터를 사용하였으며 이 또한 라빈마스터로 入力하여 컴퓨터로 出力하여 동시 입출력 시켰다. 아울러 액튜에이터의 作動 피스톤 壓力도 라빈마스터를 利用하여 同時 3 칸넬을 사용하여 出力 시켰다.

3 - 4. 實驗結果

Fig. 16에서 보는 바와 같이 액튜에이터에서 電流에 의해 스푸울을 당기면 피스톤이 움직이면서 공급 壓力を 떨어지고 0.15초 정도 지나면 안정상태가 되며 피스톤도 一定하게 이동하게 된다.

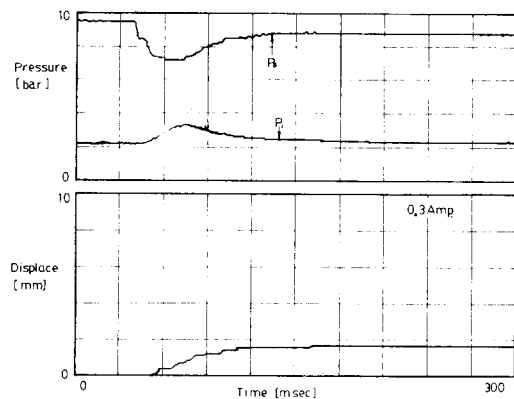


Fig. 16 Displace & pressure at 0.3 Ampere

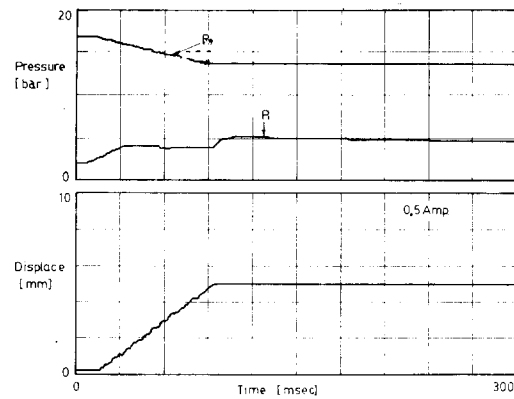


Fig. 17 Displace & pressure at 0.5 Ampere

그림 17은 0.5암페어를 공급했을 때 0.1초 정도에서 피스톤 이동은 안정되면서 壓力도 14Bar로 상승되면서 안정된다.

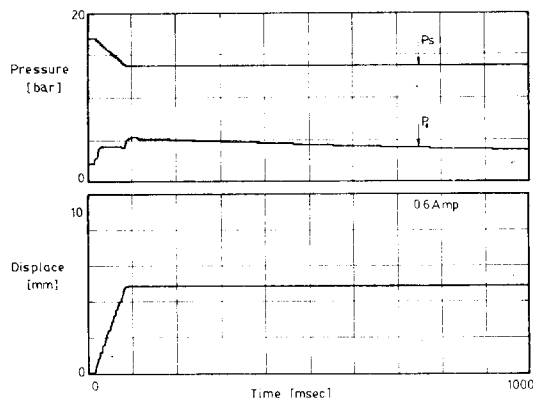


Fig. 18 Displace & pressure at 0.6 Ampere

그림 18는 0.6암페어에서 모든 추종이 급속히

진행됨을 보여 주고 있다. 그러나 공급되는 壓力의 변화는 많지 않음을 보여주고 있다.

4. 結論

시뮬레이션과 實驗의 結果에서 얻은 各因子의 變化가 밸브系와 實驗의 差에서 다음과 같은 事項들을 얻을 수 있다.

- 1) 컴퓨터 시뮬레이션에서 얻은 공급 壓力은 恒常 20Bar를 유지하고 있으나 實驗에서는 供給 암페어에 따라 變化되고 있으며 壓力도 20 Bar에 가깝게 變化되고 있음을 보여 준다. 이 때 負荷를 加해주면 이 負荷에 따라 變화 한다.
- 2) 減压밸브의 스프링 상수는 Compliance에 도움을 주지 못하고 動特性에 영향을 준다.
- 3) 텁프 스프링 상수는 텁프시간에 영향을 미치나 바이패스 스프링 상수는 영향이 적다.
- 4) 서어보 슬라이드의 直徑은 텁프시간에 영향을 미치며 直徑이 一定한 값 이상이 되면 텁프플런저가 블럭에 충돌하게 된다.
- 5) 텁프플런저의 초오크는 텁프시킨후 다시 서어보 슬라이드의 탱크측 유로를 차단했을 때 다시 背压으로 整定時間이 길어지게 된다.

《參考文獻》

1. Merritt H. E, "Hydraulic control System," John wiley and son, 1967, PP. 1~5
2. Blackburn , Reethof, Shearer, "Fluid power control," MIT, 1960, PP. 2~10.
3. H. C. Roters, "Electromagnetic Devices," John wiley and son, 1967, PP. 196~257.
4. M'cloy & Martin, "control of Fluid Power," John wiley and son 1980, PP. 93, PP. 189~191.
5. Lee S. Y. & Blackburn J. F., "Contribution to Hydraulic control-1. -Stead state axial